ФИЗИКА КОНДЕНСИРОВАННОГО СОСТОЯНИЯ

УДК 621.382ГРНТИ 29.19+29.19.31DOI: 10.34680/2076-8052.2023.3(132).481-487Специальность ВАК 2.2.2

Научная статья

МОДЕЛИРОВАНИЕ МУЛЬТИКАЛОРИЧЕСКОГО ЭФФЕКТА В МАГНИТОСТРИКЦИОННО-СЕГНЕТОЭЛЕКТРИЧЕСКИХ СЛОИСТЫХ СТРУКТУРАХ

Петров В. М.

Новгородский государственный университет имени Ярослава Мудрого (Великий Новгород, Россия)

Аннотация Рассмотрена методика расчёта мультикалорического эффекта в магнитострикционносегнетоэлектрических слоистых структурах, являющегося суперпозицией магнитокалорического, электрокалорического и эластокалорического. На примере слоистой структуры состава цирконаттитанат свинца — феррит кобальта показана возможность увеличения калорических эффектов в магнитострикционно-сегнетоэлектрических слоистых структурах. Приложение к магнитострикционносегнетоэлектрической структуре внешних магнитного и электрического полей ведет к индуцированию эластокалорического эффекта и к росту мультикалорического эффекта.

Ключевые слова: математическое моделирование, электрокалорический эффект, магнитокалорический эффект, барокалорический эффект, мультиферроик

Для цитирования: Петров В. М. Моделирование мультикалорического эффекта в магнитострикционносегнетоэлектрических слоистых структурах // Вестник НовГУ. 2023. 3(132). 481-487. DOI: 10.34680/2076-8052.2023.3(132).481-487

Research Article

SIMULATION OF THE MULTICALORIC EFFECT IN MAGNETOSTRICTIVE-FERROELECTRIC LAYERED STRUCTURES

Petrov V. M.

Yaroslav-the-Wise Novgorod State University (Veliky Novgorod, Russia)

Abstract A method for calculating the multicaloric effect in magnetostrictive-ferroelectric layered structures is considered. The multicaloric effect is a superposition of magnetocaloric, electrocaloric and elastocaloric ones. As an example of magnetostrictive-ferroelectric layered structures, the layered structure of lead zirconate titanate and cobalt ferrite provides the possibility of increasing the caloric effects. The application of external magnetic and electric fields to the magnetostriction-ferroelectric structure leads to the inducing the elastocaloric effect and thus to the increased multicaloric effect.

Keywords: mathematical modeling, electrocaloric effect, magnetocaloric effect, barocaloric effect, multiferroic

For citation: Petrov V. M. Simulation of the multicaloric effect in magnetostrictive-ferroelectric layered structures // Vestnik NovSU. 2023. 3(132). 481-487. DOI: 10.34680/2076-8052.2023.3(132).481-487

Введение

Калорические эффекты включают в общем случае электрокалорический (ЭК), магнитокалорический (МК) и эластокалорический (ЭлК) эффекты. Под электро-

калорическим эффектом [1] понимают адиабатическое изменение температуры образца ΔT при изменении внешнего электрического поля ΔE:

$$\Delta T = -\frac{T}{\rho C_{\rm E}} \frac{dP}{dT} \Delta E \tag{1}$$

В выражении (1) Р – поляризация материала, ρ – плотность, С – теплоемкость. Магнитокалорический эффект [2] представляет собой адиабатическое изменение температуры образца ΔТ при изменении внешнего магнитного поля ΔН:

$$\Delta T = -\frac{T}{\rho C_{\rm H}} \frac{dM}{dT} \Delta H , \qquad (2)$$

где М – намагниченность материала.

Эластокалорический эффект [3] характеризуется адиабатическим изменением температуры образца ΔT при появлении деформаций u_{ij} :

$$\Delta T = -\frac{T}{\rho C_{\sigma}} \frac{du_{ij}}{dT} \Delta \sigma_{ij} , \qquad (3)$$

где σ_{іі} -механическое напряжение.

В настоящее время однофазные мультиферроики имеют низкие значения фазовых переходов, поэтому перспективным представляется использование композиционных мультиферроиков, которые содержат механически сегнетоэлектрические и магнитострикционные составляющие для наблюдения, в частности, магнитоэлектрического эффекта. Одной из важных задач для теории мультиферроиков является моделирование магнитоэлектрических свойств композиционных мультиферроиков от параметров входящих в них веществ. Следует отметить, что магнитоэлектрические коэффициенты в них имеют гигантскую однофазными мультиферроиками. величину ПО сравнению С электромеханического резонанса магнитоэлектрический коэффициент существенно возрастает и достигает значений до 10³ В/(см Э).

Поскольку мультиферроики обладают двумя или более упорядочениями с достаточно сильной связью, к нему можно прикладывать несколько типов внешних полей. Можно ожидать, что большинство мультиферроиков с сильными МК и ЭК эффектами также будут демонстрировать эластокалорические эффекты, поскольку параметры магнитного и электрического порядка связаны с параметром решетки [4–7].

Мультикалорический эффект [8, 9, 10–12] определяется как адиабатическое обратимое изменение температуры в мультиферроике с учетом (1) – (3):

$$\Delta T = -\frac{T}{\rho C_{EH,\sigma}} \left(\frac{\partial P_i}{\partial T} \Delta E_i + \frac{\partial M_i}{\partial T} \Delta H_i + \frac{du_{ij}}{dT} \Delta \sigma_{ij} \right), \tag{4}$$

Методика расчета мультикалорического эффекта

Композиционные мультиферроики характеризуются наличием в этих материалах взаимодействующих между собой магнитной и электрической подсистем. Уравнение пьезоэлектрического эффекта может быть записано в следующем виде:

$$P = d_{\text{3dxd}}\sigma \tag{5}$$

где P — электрическая поляризация (матрица 3x1), $d_{\theta\phi\phi}$ — эффективный пьезо-электрический модуль сегнетоэлектрической фазы (матрица 3x6) и σ — механическое напряжение (матрица 6x1).

С учетом формул (4) и (5) для электрического смещения D справедливо выражение:

$$D = d_{\theta \phi \phi} \sigma + \varepsilon E, \tag{6}$$

где Е – электрическое поле (матрица 3х1),

 ϵ – диэлектрическая проницаемость свободного образца (при σ =0).

Магнитострикция — деформация материала в магнитном поле — может быть выражена следующим образом, в пренебрежении гистерезисом $S = b M^2$, где S - деформация (матрица 6x1), b - магнитоупругая константа (матрица 6x6), и M - намагниченность. Псевдо-пьезомагнитный эффект может быть выражен следующим образом:

$$S = q_{\Rightarrow \varphi \varphi} H \tag{7}$$

где q_{эфф} – эффективный пьезомагнитный коэффициент (матрица 6x3).

Из (6) и (7) для деформации и электрического смещения пьезоэлектрической фазы следуют уравнения:

$${}^{p}S_{i} = {}^{p}S_{ii} {}^{p}\sigma_{i} + {}^{p}d_{3\phi\phi ki} {}^{p}E_{k}, \tag{8}$$

$${}^{p}D_{k} = {}^{p}d_{\theta \phi \phi ki} {}^{p}\sigma_{i} + {}^{p}\epsilon_{kn} {}^{p}E_{n}, \tag{9}$$

где ^рS_i – компонента тензора деформаций пьезоэлектрической фазы;

^рЕ_k − компонента вектора напряженности электрического поля;

^рD_k – компонента вектора электрического смещения;

р_{оі} – компонента тензора напряжений пьезоэлектрической фазы;

^рs_{іі} – коэффициент податливости;

^рd_{эфф ki} – эффективный пьезоэлектрический модуль;

^рε_{kn} – тензор диэлектрической проницаемости.

Магнитострикционная фаза может быть описана уравнениями:

$${}^{m}S_{i} = {}^{m}S_{ij} {}^{m}\sigma_{j} + {}^{m}Q_{9\varphi\varphi} {}_{ki} {}^{m}H_{k}, \qquad (10)$$

$${}^{m}B_{k} = {}^{m}q_{\vartheta\varphi\varphi} {}_{ki} {}^{m}\sigma_{i} + {}^{m}\mu_{kn} {}^{m}H_{n}, \qquad (11)$$

где ^mS_i – компонента тензора деформаций магнитострикционной фазы;

^мσ_і – компонента тензора напряжений магнитострикционной фазы;

^ms_{ii} – коэффициент податливости;

Совместное решение уравнений (8) – (11) позволяет найти компоненты механических напряжений в фазах композита. Подстановка найденных значений в (3) позволяет определить адиабатическое изменение температуры при приложении к структуре внешних электрического и магнитного полей.

При практическом применении уравнения (3) необходимо использовать исходные данные, такие как экспериментальные значения диэлектрической поляризации P(E, T) и теплоемкости C(E, T).

Для численного решения уравнения (3) возможно использование упрощающих допущений. Дискретные экспериментальные точки для P(E, T) ОНЖОМ аппроксимировать полиномом, что позволяет выполнять производную по Т и последующее интегрирование по Е. Кроме того, зависимостью теплоемкости от температуры и поля можно, как правило, пренебречь, а среднее значение теплоемкости вынести за знак интеграла. С учетом перечисленных упрощающих предположений уравнение (3) позволяет найти изменение температуры ΔT как функцию температуры и приложенных полей. Знак ΔT зависит от зависимости намагниченности и поляризации от температуры. Для большинства материалов намагниченность и поляризация уменьшаются с ростом температуры, потому $\Delta T > 0$ адиабатического намагничивания или поляризации.

В качестве примера применим описанную методику для расчета адиабатического изменения температуры для слоистой структуры состава цирконаттитанат свинца — феррит кобальта. Как известно, в ЦТС наблюдается ЭК эффект [13], а в наноструктуированном феррите кобальта наблюдается МК эффект. Рассмотрим поперечную ориентацию магнитного и электрического полей. Для этого случая выражение для компоненты механического напряжения имеет вид (12):

$$\sigma_1 = \frac{(v-1)v^p d_{31}}{(v-1)(p^p s_{11} + p^p s_{12}) - v(m^p s_{11} + m^p s_{12})}$$
(12)

где *v* – объемная доля сегнетоэлектрической компоненты.

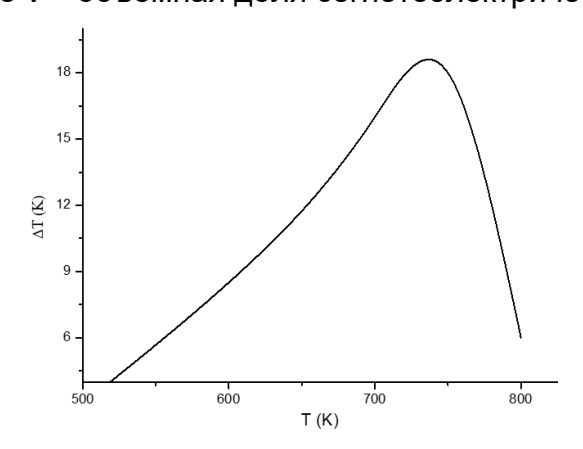


Рисунок 1. Температурная зависимость адиабатического изменения температуры для слоистой структуры состава цирконат-титанат свинца – феррит кобальта для $\Delta H = 5$ к Θ

^mH_k – компонента вектора напряженности магнитного поля;

^mB_k – компонента вектора магнитной индукции;

^тq_{эфф ki} – эффективный пьезомагнитный модуль;

^мµкп – тензор магнитной проницаемости.

Как следует из рисунка 1, учет наведенного эластокалорического эффекта приводит к 40-процентному увеличению мультикалорического эффекта в рассмотренной структуре.

Заключение

Рассмотрена методика расчёта мультикалорического эффекта в мультиферроиках, включая магнитокалорический, электрокалорический и эластокалорический эффект.

Решение поставленных задач наряду с ранее полученными научными результатами позволит получить комплекс характеристик слоистых структур, необходимых для разработки физических принципов создания твердотельных охладителей с целью повышения надежности элементной базы микроэлектроники.

Благодарности

Исследование выполнено за счет гранта Российского научного фонда № 22-21-20119, https://rscf.ru/project/ 22-21-20119/.

Список литературы

- 1. Electrocaloric Materials: New Generation of Coolers. Eds. T. Correia, Qi Zhang. Berlin, Springer, 2014. 255 p.
- 2. Es'kov A., Anokhin A., Pakhomov O., Semenov A., Fadeev E., Dedyk A., Kholkin A., Tselev A., Baranov I. V., Lähderanta E. Multiferroic properties of barium strontium titanate ceramics doped with gadolinium and iron // Ferroelectrics. 2021. 574(1). 109-114. DOI: 10.1080/00150193.2021.1888054
- 3. Старков А. С., Старков И. А. Мультикалорический эффект в твердом теле: новые аспекты // Журнал экспериментальной и технической физики. 2014. 146(2). 297-303. DOI: 10.7868/S0044451014080082
- 4. Sokolovskiy R. R., Fayzullin V. D., Buchelnikov S. V., Drobosyuk M. Theoretical treatment and direct measurements of magnetocaloric effect in Ni2.19-xFexMn0.81Ga Heusler alloys // Journal of Magnetism and Magnetic Materials. 2013. 343. 6-12. DOI: 10.1016/j.jmmm.2013.04.069
- 5. Shen B. G., Sun J. R., Hu F. X., Zhang H. W., Cheng Z. H. Recent Progress in Exploring Magnetocaloric Materials // Advanced Materials. 2009. 21(45). 4545-4564. DOI: 10.1002/adma.200901072
- 6. Дильмиева Э. Т., Каманцев А. П., Коледов В. В., Маширов А. В., Шавров В. Г., Сwik J., Терешина И. С. Экспериментальное моделирование цикла магнитного охлаждения в сильных магнитных полях // Физика твердого тела. 2016. 58(1). 82-86.
- 7. Bartlett J., Hardy G., Hepburn I. Performance of a fast response miniature Adiabatic Demagnetisation Refrigerator using a single crystal tungsten magnetoresistive heat switch // Cryogenics. 2015. 72-2(2). 111–121. DOI: 10.1016/j.cryogenics.2015.10.004
- 8. Neese B., Chu B., Lu S.-G., Wang Y., Furman E., Zhang Q. M. Large Electrocaloric Effect in Ferroelectric Polymers Near Room Temperature // Science. 2008. 321(5890). 821-823. DOI: 10.1126/science.1159655
- 9. Nair B., Usui T., Crossley S., Kurdi S., Guzmán-Verri G. G., Moya X., Hirose S., Mathur N. D. Large electrocaloric effects in oxide multi-layer capacitors over a wide

- temperature range // Nature. 2019. 575(7783). 468-472. DOI: 10.1038/s41586-019-1634-0
- 10. Metlov L. S., Koledov V. V., Shavrov V. G., Morozov E. V., Tekhtelev Yu. V., Taskaev S. V. Modelirovaniye elastokaloricheskikh effektov v splavakh Geyslera [Modeling of elastocaloric effects in Heusler alloys] // Chelyabinsk Physical and Mathematical Journal. 2020. 5-4(2). 592-600. DOI: 10.47475/2500-0101-2020-15418
- 11. Vopson M. M., Fetisov Y. K., Hepburn I. Solid-State Heating Using the Multicaloric Effect in Multiferroics // Magnetochemistry. 2021. 7(12). 154. DOI: 10.3390/magnetochemistry7120154
- 12. Lisenkov B. K., Man C.-M., Chang J., Almand J., Ponomareva I. Multicaloric effect in ferroelectric PbTiO3 from first principles // American Physical Society. 2013. 87(22). 224101. DOI: 10.1103/physrevb.87.224101
- 13. Electrocaloric Effect in PZT Thick Film for the Cooling Device Applications. Advanced Functional Materials and Devices. Eds. R. Vandana, R. Gupta, R. P. Tandon, M. Tomar, V. Gupta. Springer Proceedings in Materials (SPM, vol. 14). Springer, 2022. P. 71-79. DOI: 10.1007/978-981-16-5971-3_8

References

- 1. Electrocaloric Materials: New Generation of Coolers. Eds. T. Correia, Qi Zhang. Berlin: Springer, 2014. 255 p.
- 2. Es'kov A., Anokhin A., Pakhomov O., Semenov A., Fadeev E., Dedyk A., Kholkin A., Tselev A., Baranov I. V., Lähderanta E. Multiferroic properties of barium strontium titanate ceramics doped with gadolinium and iron // Ferroelectrics. 2021. 574(1). 109-114. DOI: 10.1080/00150193.2021.1888054
- 3. Starkov A. S., Starkov I. A. Mul'tikaloricheskiy effekt v tverdom tele: novyye aspekty [Multicaloric effect in solids: new aspects] // Journal of Experimental and Theoretical Physics. 2014. 146(2). 297-303. DOI: 10.7868/S0044451014080082
- 4. Sokolovskiy R. R., Fayzullin V. D., Buchelnikov S. V., Drobosyuk M. Theoretical treatment and direct measurements of magnetocaloric effect in Ni2.19-xFexMn0.81Ga Heusler alloys // Journal of Magnetism and Magnetic Materials. 2013. 343. 6-12. DOI: 10.1016/j.jmmm.2013.04.069
- 5. Shen B. G., Sun J. R., Hu F. X., Zhang H. W., Cheng Z. H. Recent Progress in Exploring Magnetocaloric Materials // Advanced Materials. 2009. 21(45). 4545-4564. DOI: 10.1002/adma.200901072
- 6. Dilmieva E. T., Kamantsev A. P., Koledov V. V., Mashirov A. V., Shavrov V. G., Cwik J., Tereshina I. S. Eksperimental'noye modelirovaniye tsikla magnitnogo okhlazhdeniya v sil'nykh magnitnykh polyakh [Experimental modeling of the magnetic cooling cycle in strong magnetic fields] // Physics of the Solid State. 2016. 58(1). 82-86.
- 7. Bartlett J., Hardy G., Hepburn I. Performance of a fast response miniature Adiabatic Demagnetisation Refrigerator using a single crystal tungsten magnetoresistive heat switch // Cryogenics. 2015. 72-2(2). 111–121. DOI: 10.1016/j.cryogenics.2015.10.004
- 8. Neese B., Chu B., Lu S.-G., Wang Y., Furman E., Zhang Q. M. Large Electrocaloric Effect in Ferroelectric Polymers Near Room Temperature // Science. 2008. 321(5890). 821-823. DOI: 10.1126/science.1159655
- 9. Nair B., Usui T., Crossley S., Kurdi S., Guzmán-Verri G. G., Moya X., Hirose S., Mathur N. D. Large electrocaloric effects in oxide multi-layer capacitors over a wide temperature range // Nature. 2019. 575(7783). 468-472. DOI: 10.1038/s41586-019-1634-0
- 10. Metlov L. S., Koledov V. V., Shavrov V. G., Morozov E. V., Tekhtelev Yu. V., Taskaev S. V. Modelirovaniye elastokaloricheskikh effektov v splavakh Geyslera [Modeling of elastocaloric effects in Heusler alloys] // Chelyabinsk Physical and Mathematical Journal. 2020. 5-4(2). 592-600. DOI: 10.47475/2500-0101-2020-15418

- 11. Vopson M. M., Fetisov Y. K., Hepburn I. Solid-State Heating Using the Multicaloric Effect in Multiferroics // Magnetochemistry. 2021. 7(12). 154. DOI: 10.3390/magnetochemistry7120154
- 12. Lisenkov B. K., Man C.-M., Chang J., Almand J., Ponomareva I. Multicaloric effect in ferroelectric PbTiO3 from first principles // American Physical Society. 2013. 87(22). 224101. DOI: 10.1103/physrevb.87.224101
- 13. Electrocaloric Effect in PZT Thick Film for the Cooling Device Applications. Advanced Functional Materials and Devices. Eds. R. Vandana, R. Gupta, R. P. Tandon, M. Tomar, V. Gupta. Springer Proceedings in Materials (SPM, vol. 14). Springer, 2022. P. 71-79. DOI: 10.1007/978-981-16-5971-3_8

Информация об авторе

Петров Владимир Михайлович — доктор технических наук, профессор, профессор, главный научный сотрудник, Новгородский государственный университет имени Ярослава Мудрого (Великий Новгород, Россия), ORCID: 0000-0002-7733-1030, Vladimir.Petrov@novsu.ru